

III-236 地盤の不安定破壊およびすべり破壊構構について

埼玉大学工学部 浜島良吉 井関晴夫

1. まえがき

構造物における不安定破壊現象、例えば棒、板等の分岐座屈や、殻、アーチ等に付られる飛び移り不安定破壊、さらしてこれらの構造においては最大荷重に達する以前に分岐座屈を生じ耐力を低下させる場合がある。こうした不安定破壊現象は材料の非線形性のみならず幾何学的非線形性を考慮に入れ、右ツリ合の時刻において安定ツリ合であるか、不安定ツリ合であるかを判定しなくてはならない。

本研究においては地盤の支持力変形問題においても同様の不安定現象の存在についての検討をおこない、合わせて、こうした地盤の破壊の基本がすべりに基因するものであることを明らかにする。

2. 地盤の支持力実験値のバラツキについて

地盤の支持力実験をおこなう場合、まず問題になるのは実験結果がかなり大きなバラツキを有することである。これらのバラツキの原因として種々の imperfection の影響が考えられる。それには異方性、偏心、剛性比の影響等が考えられるがこの他に載荷板の固定度の影響が考えられる。図-1はアーチの中央に荷重が作用した場合の荷重変形曲線であり、A点において分岐座屈現象が存在し、非対称変形模式とよりAへの荷重変形曲線(分岐経路)とを示す。これに対し初期変形モードのみを考元た場合との荷重変形曲線はO~B~Cとある。しかしアーチに初期変形が存在するとその荷重変形曲線は分岐経路O~A~Cへ漸近するようになる。構造物においては必ず何らかの imperfection が考えられるのでこうした分岐経路は荷重変形曲線の上限と考えられよう。地盤の支持力実験においても、その結果が大きくバラツキとはこしある。imperfectionによるものと考えられるのでこうした分岐現象および分岐経路を求めることが重要な意味を持つことになる。

実際、載荷板に荷重をかけてゆくと載荷板の傾斜が観測され、それに伴い支持力が急速に低下するが、この載荷板の傾斜が観測される夷水分岐座屈と理解されよう。

こうした観察より、本研究では図-2に示されるように載荷板を剛性状態および回転自由な状態で考元、この2種類について多数の実験をおこなった。その結果、固定および自由の場合共に大きなバラツキがみられる。ここで First Cycle Sand 及び Second Cycle Sand は水洗いしてい豊浦標準砂り第1回及び第2回目の使用のものであり、Air Dry Sand, Absolute Dry Sand は炉乾燥後大気中に放置したもの及び純乾燥態を保持したものである。ここで純乾燥状態のもので剛性比をコントロールすることにより実験値のバラツキを小さくする。図-3は $\theta = 0^\circ, 90^\circ$ の場合において偏心量を変えた図であり、異方性及び偏心量が支持力値に大きな影響を及ぼすことがわかる。ここで偏心量 $\bar{e} = 0$ の場合について Fix, Free の2種類の実験をおこなつ。图-3は支持力値は两者共には一

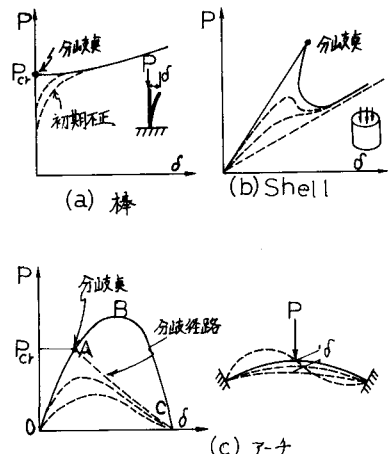


図-1 各種の不安定破壊と初期不正の影響

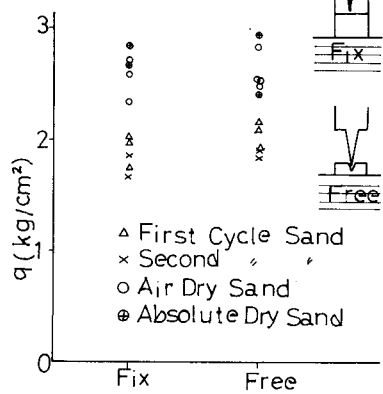


図-2 支持力に対する実験値のバラツキ

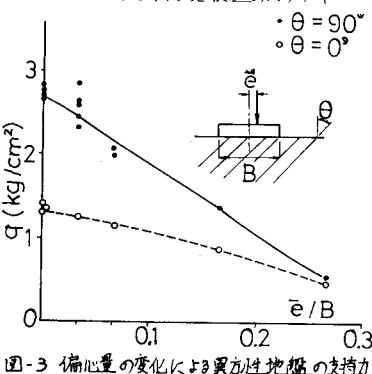


図-3 偏心量の変化による異方性地盤の支持力

致することがわかった。これに shell の場合 (図-1.b) に示されるように底層分岐点が最高荷重点と一致する場合に相当する。図-4は Fix, Free の載荷状態の場合に亘りてθを 0° ~ 90° まで変化させた場合の支持力であり、両者は $\theta=0^\circ, 90^\circ$ の2点を除いて一致しない。しかも両者共、 $\theta=25\sim30^\circ, \theta=43\sim45^\circ$ 近傍において支持力の低下がみられる。これはすべりに帰因するものと考えられ、Fix と Free の状態におけるはずべり破壊状態が異なるといえよう。実際の地盤においてはそのほとんどが異方性地盤であり、しかも少くかの imperfection を有していることから、こうした載荷状態の違いによる支持力値の違いが充分考慮する必要がある。

3. 地盤の支持力変形解析

地盤の支持力及び変形解析において材料の非線形性を勿論、幾何学的非線形性を考慮する必要性がある。図-5は充填土板の弾塑性解析結果であり、有限変形理論によるものが耐荷力が小さくなっていること、計算結果が実験結果と比較である。実験結果においては $\theta=30^\circ$ 近傍において支持力値が最低となる計算結果が示された形状を表わすことが出来た。しかし材料の softening を考慮に入れていないにとかかわらず、実験結果にみられる最大荷重点以後の荷重の低下がみれず、最高荷重に達した後はほぼ同じ支持力値で変形が進み計算不能となる。

図-7は $\theta=34^\circ$ の場合における弱面層(ガラス玉層)の破壊(softening を含じている要素)を示しており、こうした弱面層のすべりにより支持力値が $\theta=0^\circ$ の場合より小さくなる。次に再び $\theta=30^\circ, 60^\circ$ の異方性地盤を突き替へて、より得られた等方性(上辺)地盤の荷重変形曲線であるが、材料の softening, no-tension 解析、さらに幾何学的非線形性を考慮して解析してみるともしかかもう荷重変形曲線は、実験にみられるピク荷重後の落ち込みが捉えられる。こうした現象を表わすためには、すべりを考慮した解析方法の導入以外にはないと思われる。

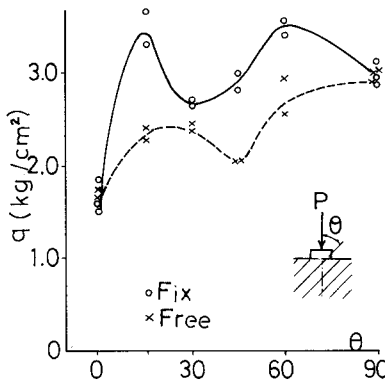


図-4 載荷状態の違いによる異方性地盤の支持力

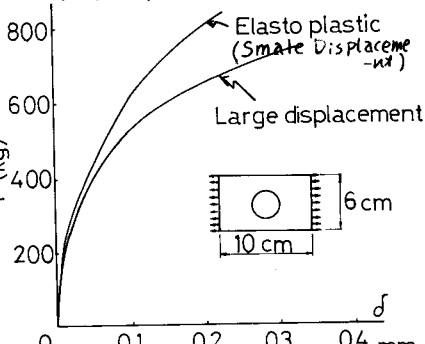


図-5 幾何学的非線形を考慮した解析

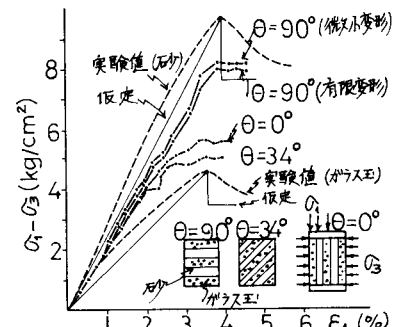


図-6 石砂,ガラス玉の互換状態の三軸試験と計算結果

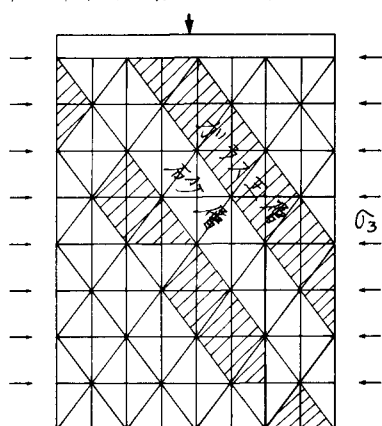


図-7 弱面層(ガラス玉層)の破壊

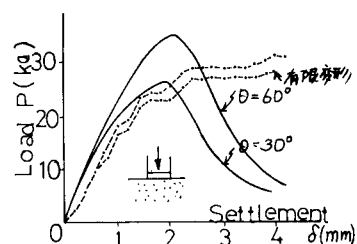


図-8 支持力に対する実験値と計算値の比較